

## Связанная нестационарная задача термоупругости для длинного полого цилиндра

*Д.А. Шляхин, М.А. Кальмова*

*Самарский государственный технический университет, Самара*

**Аннотация:** Построено новое замкнутое решение связанной динамической задачи термоупругости для длинного цилиндра в случае изменения температуры на ее лицевых поверхностях (граничные условия 1-го рода). Математическая формулировка рассматриваемой задачи включает линейные уравнения движения и теплопроводности относительно радиальной компоненты вектора перемещений, а также функции изменения температурного поля.

Для решения задачи используется математический аппарат разделения переменных в виде обобщенного конечного интегрального преобразования (КИП). Построенные расчетные соотношения дают возможность определить напряженно-деформированное состояние и температурное поле упругого элемента при произвольном температурном внешнем воздействии. Проанализировано влияние скорости изменения нагрузки и физических свойств материала на инерционные свойства упругой системы, а также определены параметры, при которых возникает необходимость учитывать связанность механических и температурных полей.

**Ключевые слова:** длинный цилиндр, связанная задача термоупругости, нестационарное температурное воздействие, конечные интегральные преобразования.

**Введение.** Для всестороннего анализа прочностных характеристик упругих систем возникает необходимость исследования их работы в условиях неравномерного нестационарного нагрева. На данный момент разработаны различные теории термоупругости (СТЕ, GHI-GHIII, LS) [1, 2], в результате исследования которых задачи решаются с достаточно разной степенью точности. Их математическая формулировка включает систему несамосопряженных дифференциальных уравнений, исследование которых связано с большими вычислительными трудностями. Вместе с тем широко используемые численные методы решения задач термоупругости не могут в полной мере учесть достаточно слабые эффекты связанности упругих и температурных полей. Поэтому здесь на первый план выходят математические методы, позволяющие получить замкнутые решения.

В связанной постановке замкнутые решения нестационарных задач термоупругости для длинного цилиндра, который рассматривается в данной работе, получены в немногих работах. В частности, исследование [3] выполнено при использовании классической (СТЕ) теории термоупругости методом конечных интегральных преобразований и удовлетворении условия теплоизоляции цилиндрических поверхностей [4]. Исследования [5], [6], проведенные в рамках гиперболических (ГНП, ГНП) теорий термоупругости, позволяют провести анализ частотного уравнения, а также форм гармонических волн в бесконечном цилиндрическом волноводе. Работы [7,8] связаны с анализом напряженно-деформированного состояния одно- и многослойного длинного цилиндра (LS-теория). Исследования [9, 10] посвящены задачам теплопроводности элементов, выполненных из упругого и упругопластического материалов.

Здесь также необходимо отметить исследования [11, 12], посвященные анализу работы цилиндра конечных размеров с мембранным закреплением его торцов и теплоизоляцией цилиндрических поверхностей.

Целью настоящей работы является: на основании построенного нового решения связанной задачи термоупругости для длинного цилиндра при действии на его поверхностях температурной нагрузки (граничные условия 1-рода) проанализировать влияние инерционных характеристик упругой системы и скорости изменения ее объема на характер распределения температурного поля и НДС.

**1. Постановка задачи.** Пусть длинный полый изотропный цилиндр занимает в цилиндрической системе координат  $(r_*, \theta, z)$  область  $\Omega: \{a \leq r_* \leq b, 0 \leq \theta \leq 2\pi, -\infty < z < \infty\}$ . На его незакрепленных поверхностях задана температура  $\omega_1^*(t_*)$  ( $r_* = a$ ) и  $\omega_2^*(t_*)$  ( $r_* = b$ ).

Дифференциальные уравнения движения и теплопроводности на основании закона Фурье в безразмерной форме имеют вид [5]:

$$\frac{\partial}{\partial r} \nabla U - \frac{\partial \Theta}{\partial r} - a_1 \frac{\partial^2 U}{\partial t^2} = 0, \quad \nabla \frac{\partial \Theta}{\partial r} - \frac{\partial}{\partial t} (a_2 \nabla U + \Theta) = 0; \quad (1)$$

$$r = R, 1 \quad \frac{\partial U}{\partial r} + a_3 \frac{U}{r} - \Theta = 0, \quad \Theta = \omega_1(\omega_2); \quad (2)$$

$$t = 0 \quad U = \Theta = 0, \quad \frac{\partial U}{\partial t} = 0; \quad (3)$$

где  $\{U, r, R\} = \{U^*, r_*, a\} / b$ ,  $\{\Theta, \omega_1, \omega_2\} = a_4 \gamma \{\Theta^*, \omega_1^*, \omega_2^*\}$ ,  $t_* = a_5 t$ ,

$$a_1 = \rho b^2 a_4 a_5^{-2}, \quad a_2 = T_0 \gamma^2 a_4 k^{-1}, \quad a_3 = \nu(1-\nu)^{-1}, \quad a_4 = \frac{(1+\nu)(1-2\nu)}{E(1-\nu)}, \quad a_5 = \frac{kb^2}{\Lambda_*},$$

$\gamma = \frac{E}{(1-2\nu)} \alpha_t$ ,  $\nabla = \frac{\partial}{\partial r} + \frac{1}{r}$ ,  $U^*, \Theta^*$  – радиальная компонента вектора

перемещений и приращение температуры в размерной форме ( $\Theta^* = T - T_0$ , – текущая температура тела и температура первоначального состояния тела, при котором отсутствуют деформации и напряжения);  $E, \nu$  – модуль упругости и коэффициент Пуассона изотропного материала,  $\Lambda_*, k, \alpha_t$  – коэффициенты теплопроводности, объемной теплоемкости и линейного теплового расширения материала.

**2. Построение общего решения.** На первом этапе решения выполняется процесс приведения неоднородных граничных условий (2) к однородным. Для этого вводятся новые функции  $u(r, t)$ ,  $\chi(r, t)$  связанные с  $U(r, t)$ ,  $\Theta(r, t)$  следующими соотношениями:

$$U(r, t) = H_1(r, t) + u(r, t), \quad \Theta(r, t) = H_2(r, t) + \chi(r, t), \quad (4)$$

где  $H_1(r, t) = f_1(r)\omega_1(t) + f_2(r)\omega_2(t)$ ,  $H_2(r, t) = f_3(r)\omega_1(t) + f_4(r)\omega_2(t)$ ,

Подстановка (4) в (1) – (3) при удовлетворении условий

$$\frac{df_1(r)}{dr} \Big|_{r=1} + a_3 f_1(1) = 0, \quad \frac{df_1(r)}{dr} \Big|_{r=R} + a_3 \frac{f_1(R)}{R} = 1, \quad \frac{df_2(r)}{dr} \Big|_{r=1} + a_3 f_2(1) = 1, \quad (5)$$

$$\frac{df_2(r)}{dr} \Big|_{r=R} + a_3 \frac{f_2(R)}{R} = 0, \quad f_3(R) = f_4(1) = 1, \quad f_3(1) = f_4(R) = 0,$$

позволяет получить новую начально-краевую задачу:

$$\frac{\partial}{\partial r} \nabla u - \frac{\partial \chi}{\partial r} - a_1 \frac{\partial^2 u}{\partial t^2} = R_1, \quad \nabla \frac{\partial \chi}{\partial r} - \frac{\partial}{\partial t} (a_2 \nabla u + \chi) = R_2; \quad (6)$$

$$r = R, 1 \quad \frac{\partial u}{\partial r} + a_3 \frac{u}{r} = 0, \quad \chi = 0; \quad (7)$$

$$t = 0 \quad u = -H_{1|t=0}, \quad \frac{\partial u}{\partial t} = -\frac{\partial H_1}{\partial t} \Big|_{t=0}, \quad \chi = -H_{2|t=0}; \quad (8)$$

где  $R_1 = -\frac{\partial}{\partial r} \nabla H_1 + \frac{\partial H_2}{\partial r} + a_1 \frac{\partial^2 H_1}{\partial t^2}, \quad R_2 = -\nabla \frac{\partial H_2}{\partial r} + \frac{\partial}{\partial t} (a_2 \nabla H_1 + H_2).$

Начально-краевую задачу (6)–(8) решаем, используя алгоритм конечного интегрального преобразования (КИП) [4]. Для этого вводим на сегменте  $[R, 1]$  КИП с неизвестным ядром преобразования  $K(\lambda_i, r)$ :

$$G_1(\lambda_i, t) = \int_R^1 u(r, t) r \frac{dK(\lambda_i, r)}{dr} dr, \quad G_2(\lambda_i, t) = \int_R^1 \chi(r, t) r K(\lambda_i, r) dr, \quad (9)$$

$$\chi(r, t) = \sum_{i=1}^{\infty} G_2(\lambda_i, t) \frac{dK(\lambda_i, r)}{dr} \|N_i\|^{-2}, \quad \Theta(r, t) = \sum_{i=1}^{\infty} G_2(\lambda_i, t) K(\lambda_i, r) \|K_i\|^{-2},$$

$$\|N_i\|^2 = \int_R^1 \left( \frac{dK(\lambda_i, r)}{dr} \right)^2 r dr, \quad \|K_i\|^2 = \int_R^1 K(\lambda_i, r)^2 r dr,$$

где  $\lambda_i$  – собственные значения, образующие счетное множество.

В результате использования алгоритма КИП получаем счетное множество задач Коши для трансформант  $G_1(\lambda_i, t), G_2(\lambda_i, t)$ :

$$a_1 \frac{d^2 G_1}{dt^2} + \lambda_i^2 G_1 + \lambda_i^2 G_2 = -R_{1H}, \quad (10)$$

$$\frac{dG_2}{dt} + \lambda_i^2 G_2 - a_2 \frac{dG_1}{dt} = -R_{2H},$$

$$t = 0 \quad G_{1H}(\lambda_i, 0) = A_1(\lambda_i), \quad \left. \frac{dG_{1H}(\lambda_i, t)}{dt} \right|_{t=0} = \frac{dA_1(\lambda_i)}{dt}, \quad G_{2H}(\lambda_i, 0) = A_2(\lambda_i), \quad (11)$$

и однородную задачу относительно ядра преобразований:

$$\nabla \frac{dK}{dr} + \lambda_i^2 K = 0, \quad (12)$$

$$r = R, 1 \quad K = 0, \quad (13)$$

которая формируется при условии  $a_3 = 1$ .

В равенствах (10), (11) приняты обозначения

$$\{R_{2H}, A_2\} = \int_R^1 \{R_2, -H_{2|t=0}\} r K dr, \quad \left\{R_{1H}, A_1, \frac{dA_1}{dt}\right\} = \int_R^1 \left\{R_1, -H_{1|t=0}, -\frac{\partial H_1}{\partial t} \Big|_{t=0}\right\} r \frac{dK}{dr} dr.$$

Система (10) приводится к следующему разрешающему уравнению относительно трансформанты  $G_1$ :

$$a_1 \frac{d^3 G_1}{dt^3} + a_1 \lambda_i^2 \frac{d^2 G_1}{dt^2} + \lambda_i^2 (1 + a_2) \frac{dG_1}{dr} + \lambda_i^4 G_1 = R_H, \quad (14)$$

решение, которого имеет вид:

$$G_1 = \sum_{n=1}^3 D_{ni} \exp(A_{ni} t) + a_1^{-1} \sum_{m=1}^3 B_{mi}^{-1} \int_0^t R_H(\tau) \exp(A_{mi} (t - \tau)) d\tau, \quad (15)$$

где  $R_H = \lambda_i^2 (R_{2H} - R_{1H}) - \frac{dR_{1H}}{dt}$ ,  $B_{1i} = (A_{1i} - A_{2i})(A_{1i} - A_{3i})$ ,  $B_{2i} = (A_{2i} - A_{1i})(A_{2i} - A_{3i})$ ,

$B_{3i} = (A_{3i} - A_{1i})(A_{3i} - A_{2i})$ ,  $A_{1i} \dots A_{3i}$  – корни следующего характеристического уравнения:

$$a_1 A_i^3 + a_1 \lambda_i^2 A_i^2 + \lambda_i^2 (1 + a_2) A_i + \lambda_i^4 = 0. \quad (16)$$

Трансформанта  $G_2$  определяется из первого уравнения (10).

Подстановка  $G_1, G_2$  в начальные условия (11) позволяет определить постоянные интегрирования  $D_{1i} \dots D_{3i}$ .

Решение однородной задачи (12), (13) относительно ядра преобразований  $K(\lambda_i, r)$  имеет вид:

$$K(\lambda_i, r) = J_0(\lambda_i r) - \frac{J_0(\lambda_i)}{Y_0(\lambda_i)} Y_0(\lambda_i r), \quad (17)$$

где  $\lambda_i$  определяются из следующего трансцендентного уравнения:

$$J_0(\lambda_i R) - \frac{J_0(\lambda_i)}{Y_0(\lambda_i)} Y_0(\lambda_i R) = 0, \quad (18)$$

где  $J_0(\dots)$ ,  $Y_0(\dots)$  – функции Бесселя 1-го и 2-го родов нулевого порядка.

Окончательные выражения функций  $U(r, t)$ ,  $\Theta(r, t)$  получим, применяя к трансформантам  $G_1, G_2$  формулы обращения (9). В результате, с учетом (4), (17) имеем:

$$U(r, t) = H_1(r, t) - \sum_{i=1}^{\infty} G_1(\lambda_i, t) \lambda_i^{-1} \left[ J_1(\lambda_i r) - \frac{J_0(\lambda_i)}{Y_0(\lambda_i)} Y_1(\lambda_i r) \right] \|K_i\|^{-2}, \quad (19)$$

$$\Theta(r, t) = H_2(r, t) + \sum_{i=1}^{\infty} G_2(\lambda_i, t) \left[ J_0(\lambda_i r) - \frac{J_0(\lambda_i)}{Y_0(\lambda_i)} Y_0(\lambda_i r) \right] \|K_i\|^{-2}.$$

Функции  $f_1(r) \dots f_4(r)$  определяются при решении следующих дифференциальных уравнений:

$$\frac{\partial}{\partial r} \nabla f_1(r) = \frac{1}{r \ln R}, \quad \frac{\partial}{\partial r} \nabla f_2(r) = -\frac{1}{r \ln R}, \quad \nabla \frac{df_3(r)}{dr} = \nabla \frac{df_4(r)}{dr} = 0, \quad (20)$$

что позволяет существенно упростить правые части соотношений (6).

В результате с учетом условий (5) получаем:

$$f_1(r) = \frac{R^2}{2(1-R^2)} \left[ \frac{(a_3-1)r}{(1+a_3)} - \frac{1}{r} \right] + \frac{r}{2 \ln R} \left[ \ln r - \frac{1}{(1+a_3)} \right], \quad f_4(r) = \frac{\ln R - \ln r}{\ln R}, \quad (21)$$

$$f_2(r) = \frac{r}{(1+a_3)} + \frac{R^2}{2(R^2-1)} \left( \frac{(a_3-1)r}{(1+a_3)} - \frac{1}{r} \right) + \frac{r}{4 \ln R} \left[ 1 - 2 \ln r - \frac{(a_3-1)}{(1+a_3)} \right], \quad f_3(r) = \frac{\ln r}{\ln R}.$$

**3. Численный анализ результатов.** В качестве примера рассматривается случай действия температурной нагрузки  $\omega_1^*(t_*)$  на внутренней поверхности цилиндра:

$$\omega_1^*(t_*) = T_{\max} \left[ \sin \left( \frac{\pi}{2t_{\max}^*} t_* \right) H(t_{\max}^* - t_*) + H(t_* - t_{\max}^*) \right], \quad \omega_2^*(t_*) = 0, \quad (22)$$

где  $H(\tilde{t})$  – единичная функция Хэвисайда ( $H(\tilde{t})=1$  при  $\tilde{t} \geq 0$ ,  $H(\tilde{t})=0$  при  $\tilde{t} < 0$ ),  $T_{\max} = T_{\max}^* - T_0$ ,  $T_{\max}^*, t_{\max}^*$  – максимальное значение внешнего температурного воздействия и соответствующее ему время в размерной форме ( $T_{\max}^* = 100^\circ\text{C}$ ,  $T_0 = 20^\circ\text{C}$ ).

Для оценки влияния инерционные свойства упругой системы на радиальные перемещения выполнялся расчет при варьировании параметра  $a_1 \frac{\partial^2 H_1}{\partial t^2}$ , который зависит от физических свойств материала, радиуса цилиндра  $b$  и скорости изменения температурной нагрузки. На рис. 1 приведены графики изменения радиальных перемещений  $U(R, t)$  по времени  $t$  ( $b=1$  м,  $R=0.8$ ,  $\nu=0.34$ ) для цилиндра, изготовленного из пластика [13]. Сплошной линией обозначены результаты при  $t_{\max}^* = 2 \times 10^{-5}$  (с) ( $t_{\max} = 1.7 \times 10^{-11}$ ), пунктирной – при  $t_{\max}^* = 1 \times 10^{-4}$  (с) ( $t_{\max} = 8.6 \times 10^{-11}$ ). Инерционные свойства для данных размеров конструкции становятся заметны при практически мгновенном изменении температурной нагрузки  $t_{\max}^* = 2 \times 10^{-5}$  (с).

В общем случае в результате анализа расчетных соотношений и численных результатов расчета можно сделать вывод, что для цилиндра, изготовленного из пластика, инерционные свойства упругой системы проявляются при выполнении условия:  $\frac{b}{t_{\max}^*} \geq 5 \times 10^4$  (м/с). Для элемента, изготовленного из алюминия [13], имеем:  $\frac{b}{t_{\max}^*} \geq 3 \times 10^5$  (м/с).

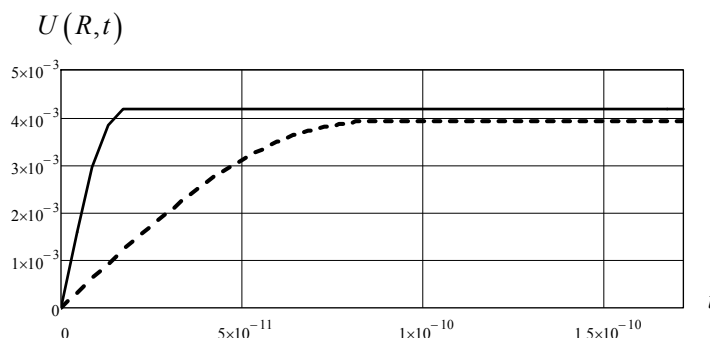


Рис.1. – Графики изменения радиальных перемещений  $U(R, t)$  по времени  $t$   
 (сплошная линия –  $t_{\max} = 1.7 \times 10^{-11}$ , пунктирная –  $t_{\max} = 8.6 \times 10^{-11}$ )

Для оценки влияния скорости изменения объема тела ( $a_2 \frac{\partial}{\partial t} \nabla U$ ) на температурное поле рассматривается также пример влияния тепловой нагрузки (22). На рис. 2 показаны графики изменения температуры  $\Theta(0.9, t)$  по времени  $t$ , а на рис. 3 – изменение нормальных напряжений  $\sigma_{\theta\theta}(r, t_{\max}), \sigma_{rr}(r, t_{\max})$  по радиальной координате  $r$  ( $R = 0.8, \nu = 0.34, t_{\max}^* = 1$  с,  $\sigma_{\theta\theta} = a_3^{-1} \frac{\partial U}{\partial r} + \frac{U}{r} - \Theta$ ). Цифрами 1, 2 обозначены результаты расчета  $\Theta(0.9, t), \sigma_{\theta\theta}(r, t_{\max})$  соответственно при  $a_2 = 2 \times 10^{-3}$  и  $a_2 = 0.2$ , а пунктирной линией характер изменения во времени  $\omega_1^*(t_*)$  и нормальных напряжений  $\sigma_{rr}(r, t_{\max})$  по радиальной координате ( $a_2 = 0.2$ ).

На основании проведенного расчета можно сделать вывод о том, что изменение объема тела приводит к перераспределению в нем температурного поля при численных значениях коэффициента связанности порядка 0.2. Данному значению  $a_2$  соответствуют материалы, имеющие большой коэффициент линейного теплового расширения, в частности различные поливиниловые составы [14].



Следует отметить, что учет изменения объема приводит к снижению температуры внутри исследуемого тела, что в свою очередь приводит к изменению  $\sigma_{\theta\theta}(r, t_{\max})$ . Кроме того, в рассматриваемом примере допущение, используемое при вычислении компоненты ядра преобразований  $K(\lambda_i, r)$  ( $a_3 = 1$ ), не оказывает существенного влияния и первое граничное условия (2) удовлетворяется.

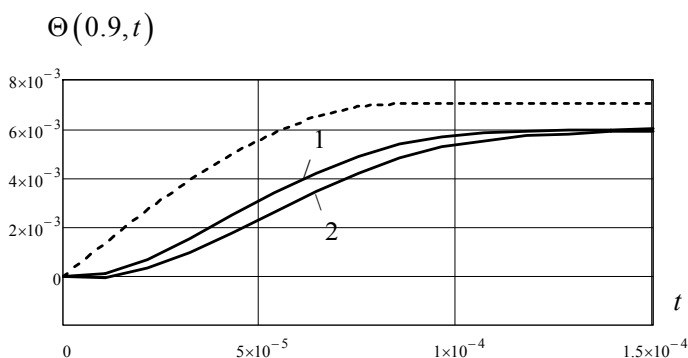


Рис.2. – Графики изменения температуры  $\Theta(0.9, t)$  по времени  $t$  (1–  $a_2 = 2 \times 10^{-3}$ , 2–  $a_2 = 0.2$ , пунктирная линия – характер изменения во времени  $\omega_1^*(t_*)$ )

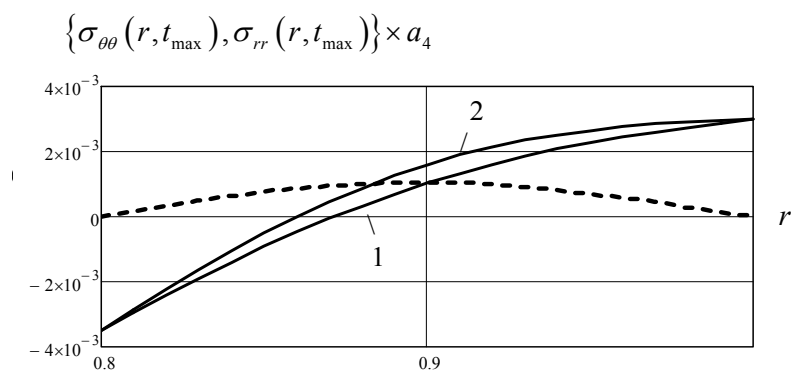


Рис.3. – Графики изменения нормальных напряжений  $\sigma_{\theta\theta}(r, t_{\max}), \sigma_{rr}(r, t_{\max})$  по радиальной координате  $r$  (1–  $\sigma_{\theta\theta}(r, t_{\max})$  при  $a_2 = 2 \times 10^{-3}$ , 2–  $\sigma_{\theta\theta}(r, t_{\max})$  при  $a_2 = 0.2$ , пунктирная линия –  $\sigma_{rr}(r, t_{\max})$ )

В заключение следует отметить, что построенный алгоритм расчета позволяет также исследовать конструкцию в случае действия на ее

цилиндрических поверхностях механической нагрузки в виде нормальных напряжений.

### Литература

1. Радаев Ю.Н., Таранова М.В. Волновые числа термоупругих волн в волноводе с теплообменом на боковой стенке // Вестн. Сам. гос. техн. ун-та. Сер. Физ.мат. науки. 2011. №2(23). С.53–61.

2. Шашков А.Г., Бубнов В.А., Яновский С.Ю. Волновые явления теплопроводности. Системно-структурный подход. Изд. 2-е доп. М.: Едиториал УРСС, 2004. 296 с.

3. Сеницкий Ю.Э. К решению связанной динамической задачи термоупругости для бесконечного цилиндра и сферы // Прикл. мех. АН УССР. 1982. Т. 18, № 6. С. 34–41.

4. Коваленко А.Д. Введение в термоупругость. Киев: Наук. думка, 1965. 204 с.

5. Ковалев В.А., Радаев Ю.Н., Семенов Д.А. Связанные динамические задачи гиперболической термоупругости // Изв. Саратов. ун-та. Нов. сер. Математика. Механика. Информатика. 2009. Т.9, вып. 4(2). С 94–127.

6. Ковалев В.А., Радаев Ю.Н., Ревинский Р.А. Прохождение обобщенной ГНП- термоупругой волны через волновод с проницаемой для тепла стенкой // Изв. Саратов. ун-та. Нов. сер. Математика. Механика. Информатика. 2011. Т.11, вып. 1. С 59–70.

7. Fu J.W., Chen Z.T., Qian L.F. Coupled thermoelastic analysis a multi-layered hollow cylinder based on the C–T theory and its application on functionally graded materials // Composite Structures. 131 (2015). pp. 139–150.

8. Khader S. E. Thermoelastic problem for an infinitely long annular cylinder without energy dissipation (GN theory) // European Journal of Advances in Engineering and Technology, 2018, 5(6). pp. 408-413.

9. Еремин А.В., Губарева К.В., Шульга А.С. Исследование процесса теплопроводности в пластине с внутренними источниками теплоты постоянной мощности // Инженерный вестник Дона, 2019, №6. URL: ivdon.ru/ru/magazine/archive/n6y2019/604.

10. Бердзенишвили Г.Г. и др. О поведении упругопластического диска под действием теплового источника // Инженерный вестник Дона, 2018, №2. URL: ivdon.ru/ru/magazine/archive/n2y2018/4973

11. Лычев С.А. Связанная динамическая задача термоупругости для конечного цилиндра // Вестн. Сам. гос. ун-та. 2003. № 4 (30). С. 112–124.

12. Лычев С.А., Манжиров А.В., Юбер С.В. Замкнутые решения краевых задач связанной термоупругости // Изв. РАН. МТТ. 2010. № 4. С. 138–154.

13. Кухлинг Х. Справочник по физике. Москва, Мир, 1982. 519 с.

14. Кобзарь В.Н., Фильштинский Л.А. Плоская динамическая задача связанной термоупругости // ПММ, 2008.Т.72. Вып. 5. С. 842-851.

### References

1. Radaev Yu.N., Taranova M.V. Vestn. Sam. gos. texn. un-ta. Ser. Fiz.mat. nauki. 2011. №2 (23). pp.53–61.

2. Shashkov A.G., Bubnov V.A., Yanovskij S.Yu. Volnovy`e yavleniya teploprovodnosti. Sistemno-strukturny`j podxod [Wave phenomena of heat conductivity. System and structural approach]. Izd. 2-e dop. M.: Editorial URSS, 2004. 296 p.

3. Seniczkiy Yu.E`. Prikl. mex. AN USSR. 1982. T. 18, № 6. pp. 34–41.

4. Kovalenko A.D. Vvedenie v termouprugost` [Introduction to thermoelasticity]. Kiev: Nauk. dumka, 1965. 204 p.

5. Kovalev V.A., Radaev Yu.N., Semenov D.A. Izv. Sarat. un-ta. Nov. ser. Matematika. Mexanika. Informatika.2009. T.9, vy`p. 4(2). pp. 94–127.

6. Kovalev V.A., Radaev Yu.N., Revinskij R.A. Izv. Sarat. un-ta. Nov. ser. Matematika. Mexanika. Informatika. 2011. T.11, vy`p. 1. pp. 59–70.



7. Fu J.W., Chen Z.T., Qian L.F. Composite Structures. 131 (2015). pp. 139–150.
8. Khader S. E. European Journal of Advances in Engineering and Technology, 2018, 5(6). pp. 408-413.
9. Eremin A.V., Gubareva K.V. Inzhenernyj vestnik Dona, 2019, №6. URL: [ivdon.ru/ru/magazine/archive/n6y2019/604](http://ivdon.ru/ru/magazine/archive/n6y2019/604).
10. Berdzenishvili G. G. I dr. Inzhenernyj vestnik Dona, 2018, №2. URL: [ivdon.ru/ru/magazine/archive/n2y2018/4973](http://ivdon.ru/ru/magazine/archive/n2y2018/4973).
11. Ly`chev S.A. Vestn. Sam. gos. un-ta. 2003. № 4 (30). pp. 112–124.
12. Ly`chev S.A., Manzhirov A.V., Yuber S.V. Izv. RAN. MTT. 2010. № 4. pp. 138–154.
13. Kuxling X. Spravochnik po fizike [Reference book on physics]. Moskva, Mir, 1982. 519 p.
14. Kobzar` V.N., Fil`shtinskij L.A. PMM, 2008. T.72. Vyp. 5. pp. 842-851.